

非可換フレーバー対称性による θ_{13} の予言

石森 一

Niigata University

2月9日@宇宙線研

共同研究者 新潟大学：谷本盛光、清水勇介、嵯峨浩太
京都大学：小林達夫、大木洋
KIAS：大村雄司 BUE：岡田寛

Plan of my talk

- 1 Introduction
- 2 Flavor symmetry
 - A_4 symmetry
 - S_4 symmetry
 - $\Delta(54)$ symmetry
- 3 Prediction of θ_{13}
 - A_4 model
 - S_4 model
 - $\Delta(54)$ model
- 4 Summary

Motivation

ニュートリノ振動より Tri-bimaximal の混合が示唆されている。

離散対称性によりレプトンの混合が説明できる。

- 様々なモデルが tri-bimaximal 混合を導く
- 例えば、 S_3 , D_4 , A_4 , S_4 , $\Delta(54)$, \dots

多くのモデルで tri-bimaximal 混合を leading で预言する。
しかし、高次補正を加えると tri-bimaximal 混合からずれる。

目的

フレーバー離散対称性ごとに異なった θ_{13} の预言を解析する。

ニュートリノ振動実験による結果

M.C. G-Garcia, M. Maltoni, J. Salvado, arXiv:1001.4524

| parameter | best fit | 1σ | 3σ | tri-bi |
|---|--------------|---------------------------|---------------------------|--------------|
| θ_{12} | 34.4° | $33.4^\circ - 35.4^\circ$ | $31.5^\circ - 37.6^\circ$ | 35.3° |
| θ_{23} | 42.3° | $39.5^\circ - 47.6^\circ$ | $35.2^\circ - 53.7^\circ$ | 45° |
| θ_{13} | 6.8° | $3.2^\circ - 9.4^\circ$ | $< 13.2^\circ$ | 0° |
| $\Delta m_{\text{sol}}^2 [10^{-5} \text{eV}^2]$ | 7.59 | 7.39-7.79 | 6.90-8.20 | * |
| $\Delta m_{\text{atm}}^2 [10^{-3} \text{eV}^2]_N$ | 2.51 | 2.39-2.63 | 2.15-2.90 | * |

$$|\nu_\alpha\rangle = U_{\alpha i} |\nu_i\rangle, \quad \alpha = e, \mu, \tau, \quad i = 1, 2, 3,$$

$$U_{\text{MNS}} = \begin{pmatrix} c_{12}c_{13} & s_{12}c_{13} & s_{13}e^{-i\delta} \\ -s_{12}c_{23} - c_{12}s_{23}s_{13}e^{i\delta} & c_{12}c_{23} - s_{12}s_{23}s_{13}e^{i\delta} & s_{23}c_{13} \\ s_{12}s_{23} - c_{12}c_{23}s_{13}e^{i\delta} & -c_{12}s_{23} - s_{12}c_{23}s_{13}e^{i\delta} & c_{23}c_{13} \end{pmatrix}$$

ニュートリノ振動実験による結果

M.C. G-Garcia, M. Maltoni, J. Salvado, arXiv:1001.4524

| parameter | best fit | 1σ | 3σ | tri-bi |
|---|--------------|---------------------------|---------------------------|--------------|
| θ_{12} | 34.4° | $33.4^\circ - 35.4^\circ$ | $31.5^\circ - 37.6^\circ$ | 35.3° |
| θ_{23} | 42.3° | $39.5^\circ - 47.6^\circ$ | $35.2^\circ - 53.7^\circ$ | 45° |
| θ_{13} | 6.8° | $3.2^\circ - 9.4^\circ$ | $< 13.2^\circ$ | 0° |
| $\Delta m_{\text{sol}}^2 [10^{-5} \text{eV}^2]$ | 7.59 | 7.39-7.79 | 6.90-8.20 | * |
| $\Delta m_{\text{atm}}^2 [10^{-3} \text{eV}^2]_N$ | 2.51 | 2.39-2.63 | 2.15-2.90 | * |

$$\sin^2 \theta_{12} = 1/3, \quad \sin^2 \theta_{23} = 1/2, \quad \sin^2 \theta_{13} = 0,$$

$$U_{\text{tri-bimaximal}} = \begin{pmatrix} \sqrt{2/3} & \sqrt{1/3} & 0 \\ -\sqrt{1/6} & \sqrt{1/3} & -\sqrt{1/2} \\ -\sqrt{1/6} & \sqrt{1/3} & \sqrt{1/2} \end{pmatrix}$$

Tri-bimaximal matrix

Tri-bimaximal matrix が示唆するフレーバー構造は何か？

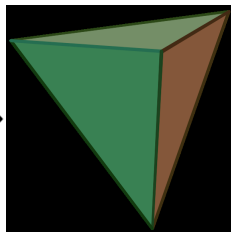
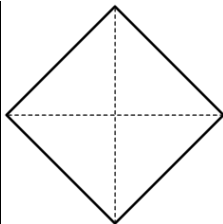
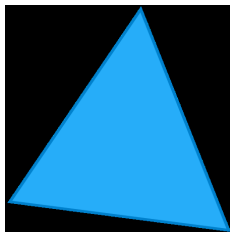
$$\begin{aligned} M_\nu &= U_{\text{tri}}^* \begin{pmatrix} m_1 & 0 & 0 \\ 0 & m_2 & 0 \\ 0 & 0 & m_3 \end{pmatrix} U_{\text{tri}}^\dagger \\ &= \frac{m_1 + m_3}{2} \begin{pmatrix} 1 & 0 & 0 \\ 0 & 1 & 0 \\ 0 & 0 & 1 \end{pmatrix} + \frac{m_2 - m_1}{3} \begin{pmatrix} 1 & 1 & 1 \\ 1 & 1 & 1 \\ 1 & 1 & 1 \end{pmatrix} \\ &\quad + \frac{m_1 - m_3}{2} \begin{pmatrix} 1 & 0 & 0 \\ 0 & 0 & 1 \\ 0 & 1 & 0 \end{pmatrix} \end{aligned}$$

質量行列の起源の1つの可能性としてフレーバーの離散対称性がある。

離散対称性の種類：

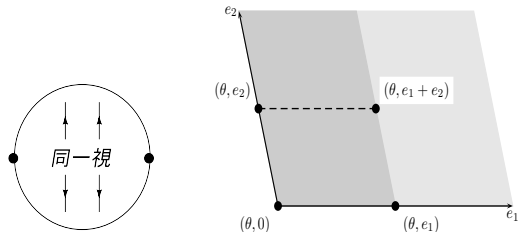
- S_3 , D_4 , A_4 , S_4 , $\Delta(54)$ など

離散群に基づく離散対称性を用いることで
実験を再現する質量行列を導くことができる。



高次元をオービフォールド化したとき離散対称性が現れる。

(A. Adulpravitchai, A. Blum, M. Lindner, JHEP 0907: 053, 2009)



| オービフォールド | 格子の成す角 | フレーバー対称性 |
|-----------|------------|---------------------------|
| S^1/Z_2 | | S_2 |
| T^2/Z_2 | 60° | S_4 |
| | 90° | A_4 (proper Lorenz tr.) |
| | 上記以外 | D_4 |
| | | $Z_2 \times Z_2$ |

S_3 対称性

S_3 対称性は 3 要素すべての置換を示す。

世代間に S_3 対称性を課した場合、

$$M_\nu = \frac{m_1 + m_3}{2} \begin{pmatrix} 1 & 0 & 0 \\ 0 & 1 & 0 \\ 0 & 0 & 1 \end{pmatrix} + \frac{m_2 - m_1}{3} \begin{pmatrix} 1 & 1 & 1 \\ 1 & 1 & 1 \\ 1 & 1 & 1 \end{pmatrix} + \frac{m_3 - m_1}{3} \begin{pmatrix} 1 & 0 & 0 \\ 0 & 0 & 1 \\ 0 & 1 & 0 \end{pmatrix}.$$

このとき、 m_1 と m_3 の質量が縮退し実験と合わない。

A_4 , S_4 , $\Delta(54)$ の場合は tri-bimaximal 混合を任意の質量で導ける。

(高次元で S_3 を破ることで 3 つ目の行列を導く方法もある。

N. Haba, A. Watanabe, K. Yoshioka, Phys. Rev. Lett. 97 (2006) 041601)

A_4 対称性

A_4 は triplet を持つ群の中で要素が最小。

G. Altarelli, F. Feruglio, Nucl.Phys. B720 (2005) 64
A. Hayakawa et al., Phys. Lett. B680 (2009) 334

Basic structure of A_4

A_4 の既約表現は 4 つ: $3, 1, 1', 1''$.

Lagrangian が A_4 対称性を持つ場合、
すべての項は A_4 の自明な 1 重項 1 である。

- いくつか掛け算則の例を上げると

$$3 \times 3 = 1 + 1' + 1'' + 3 + 3 \text{ and } 1' \times 1'' = 1.$$

自明な 1 重項になる組み合わせは

$$3 \times 3, 1 \times 1, 1' \times 1''.$$

3 重項は世代数に対応できる。

Altarelli と Feruglio が提案した $A_4 \times Z_3$ SUSY 模型.

| | レプトン | | 右巻き ニュートリノ | | | ヒッグス | gauge singlet スカラー | | | FN場 |
|----------|----------|------------|---------------|------------|------------|-----------|-----------------------|----------|----------|----------|
| | L | R_e^c | R_μ^c | R_τ^c | N^c | $H_{u,d}$ | χ_l | χ_N | χ | Φ |
| A_4 | 3 | 1 | 1'' | 1' | 3 | 1 | 3 | 3 | 1 | 1 |
| Z_3 | ω | ω^2 | ω^2 | ω^2 | ω^2 | 1 | 1 | ω | ω | 1 |
| $U(1)_F$ | 0 | 2 | 1 | 0 | 0 | 0 | 0 | 0 | 0 | -1 |

χ_l, χ_N, χ はゲージ 1 重項の新しい粒子、
 Φ は Froggata-Nielsen 場である。

$$\omega = e^{2\pi i/3}$$

- $A_4 \times Z_3$ 対称性により特定の coupling だけが許される。

Charged lepton

- $R_e^c(L\chi_\ell)_1 H_d \Phi^2 / \Lambda^3$,

| | R_e^c | L | χ_ℓ | H_d |
|-------|------------|----------|-------------|----------|
| A_4 | 1 | 3 | 3 | 1 |
| Z_3 | ω^2 | ω | 1 | 1 |

- $R_\mu^c(L\chi_\ell)_{1'} H_d \Phi / \Lambda^2$,

| | R_μ^c | L | χ_ℓ | H_d |
|-------|------------|----------|-------------|----------|
| A_4 | 1'' | 3 | 3 | 1 |
| Z_3 | ω^2 | ω | 1 | 1 |

- $R_\tau^c(L\chi_\ell)_{1''} H_d / \Lambda$

| | R_τ^c | L | χ_ℓ | H_d |
|-------|------------|----------|-------------|----------|
| A_4 | 1' | 3 | 3 | 1 |
| Z_3 | ω^2 | ω | 1 | 1 |

A_4 の tensor product により
 coupling が決定する。
 (Λ : cut off scale)

VEV を $\langle \chi_\ell \rangle = (\alpha_{l_1}, \alpha_{l_2}, \alpha_{l_3}) \Lambda$
 $\langle \Phi \rangle = \lambda \Lambda$ とすると

$$\begin{aligned}
 M_\ell = & y_e \lambda^2 v_d \begin{pmatrix} \alpha_{l_1} & \alpha_{l_2} & \alpha_{l_3} \\ 0 & 0 & 0 \\ 0 & 0 & 0 \end{pmatrix} \\
 & + y_\mu \lambda v_d \begin{pmatrix} 0 & 0 & 0 \\ \alpha_{l_3} & \alpha_{l_1} & \alpha_{l_2} \\ 0 & 0 & 0 \end{pmatrix} \\
 & + y_\tau v_d \begin{pmatrix} 0 & 0 & 0 \\ 0 & 0 & 0 \\ \alpha_{l_2} & \alpha_{l_3} & \alpha_{l_1} \end{pmatrix}
 \end{aligned}$$

Dirac neutrino

- $\bar{N}LH_u$,

| | N^c | L | H_u |
|-------|------------|----------|----------|
| A_4 | 3 | 3 | 1 |
| Z_3 | ω^2 | ω | 1 |

Majorana neutrino

- $\bar{N}^c N \chi_N$,

| | N | χ_N |
|-------|----------|----------|
| A_4 | 3 | 3 |
| Z_3 | ω | ω |

- $\bar{N}^c N \chi$,

| | N | χ |
|-------|----------|----------|
| A_4 | 3 | 1 |
| Z_3 | ω | ω |

VEV を $\langle \chi_N \rangle = (\alpha_{N_1}, \alpha_{N_2}, \alpha_{N_3}) \Lambda$
 $\langle \chi \rangle = \alpha \Lambda$ とすると

$$M_D = y_D v_u \begin{pmatrix} 1 & 0 & 0 \\ 0 & 1 & 0 \\ 0 & 0 & 1 \end{pmatrix}$$

$$M_N = \frac{y_1^N \Lambda}{3} \begin{pmatrix} 2\alpha_{N_1} & -\alpha_{N_3} & -\alpha_{N_2} \\ -\alpha_{N_3} & 2\alpha_{N_2} & -\alpha_{N_1} \\ -\alpha_{N_2} & -\alpha_{N_1} & 2\alpha_{N_3} \end{pmatrix}$$

$$+ y_2^N \alpha \Lambda \begin{pmatrix} 1 & 0 & 0 \\ 0 & 0 & 1 \\ 0 & 1 & 0 \end{pmatrix}$$

以下のように VEV の alignment を与える。

$$\langle \chi_\ell \rangle = (\alpha_\ell, 0, 0)\Lambda \text{ and } \langle \chi_\nu \rangle = \alpha_N(1, 1, 1)\Lambda,$$

$$M_l = \alpha_\ell v_d \begin{pmatrix} \lambda^2 y_e & 0 & 0 \\ 0 & \lambda y_\mu & 0 \\ 0 & 0 & y_\tau \end{pmatrix}$$

$$M_\nu = \frac{m_1 + m_3}{2} \begin{pmatrix} 1 & 0 & 0 \\ 0 & 1 & 0 \\ 0 & 0 & 1 \end{pmatrix} + \frac{m_2 - m_1}{3} \begin{pmatrix} 1 & 1 & 1 \\ 1 & 1 & 1 \\ 1 & 1 & 1 \end{pmatrix} + \frac{m_1 - m_3}{2} \begin{pmatrix} 1 & 0 & 0 \\ 0 & 0 & 1 \\ 0 & 1 & 0 \end{pmatrix}$$

この行列は tri-bimaximal mixing を導く。

$$m_1 = \frac{y_D^2 v_u^2}{2(y_1^N \alpha_N + y_2^N \alpha)\Lambda}, \quad m_2 = \frac{y_D^2 v_u^2}{2y_2^N \alpha \Lambda}, \quad m_3 = \frac{y_D^2 v_u^2}{2(y_1^N \alpha_N - y_2^N \alpha)\Lambda}.$$

S_4 対称性

S_4 は singlet, doublet, triplet を持つ最小の群。
レプトン、クォークを統一的に扱う。
Cabibbo angle を 15° 付近だと予言できる。

H. Ishimori, Y. Shimizu, M. Tanimoto, Prog. Theor. Phys. 121 (2009) 769

Basic structure of S_4

S_4 の既約表現は 5 つ: 3_1 , 3_2 , 2 , 1_1 , 1_2 .

Lagrangian が S_4 対称性を持つ場合、
すべての項は S_4 の自明な 1 重項 1_1 である。

- いくつか掛け算則の例を上げると

$$3_i \times 3_i = 1_1 + 2 + 3_1 + 3_2, \quad 3_1 \times 3_2 = 1_2 + 2 + 3_1 + 3_2$$

$$3_i \times 2 = 3_1 + 3_2, \quad 2 \times 2 = 1_1 + 1_2 + 2, \dots$$

自明な 1 重項になる組み合わせは

$$3_1 \times 3_1, \quad 3_2 \times 3_2, \quad 2 \times 2, \quad 1_2 \times 1_2, \quad 1_1 \times 1_1.$$

S_4 model

我々が提案した $S_4 \times Z_4$ SUSY GUT 模型を紹介する。

| | レプトン | | 右巻きニュートリノ | | |
|----------|------------------------|--------------------|----------------|--------------------|----------------|
| | (L_e, L_μ, L_τ) | (R_e^c, R_μ^c) | R_τ^c | (N_e^c, N_μ^c) | N_τ^c |
| S_4 | $\mathbf{3}_1$ | $\mathbf{2}$ | $\mathbf{1}_1$ | $\mathbf{2}$ | $\mathbf{1}_2$ |
| Z_4 | i | $-i$ | -1 | 1 | 1 |
| $U(1)_F$ | 0 | 1 | 0 | 1 | 0 |

| | ヒッグス | | スカラー場 | | | | | | | FN 場 |
|----------|----------------|----------------|--------------|--------------|--------------|----------------|----------------|----------------|----------------|----------------|
| | $H_{5,5}$ | H_{45} | χ_u | χ'_u | χ_N | χ_D | χ_l | χ'_l | χ | Φ |
| S_4 | $\mathbf{1}_1$ | $\mathbf{1}_1$ | $\mathbf{2}$ | $\mathbf{2}$ | $\mathbf{2}$ | $\mathbf{3}_2$ | $\mathbf{3}_1$ | $\mathbf{3}_1$ | $\mathbf{1}_1$ | $\mathbf{1}_1$ |
| Z_4 | 1 | -1 | -1 | $-i$ | 1 | $-i$ | -1 | i | i | 1 |
| $U(1)_F$ | 0 | 0 | 0 | -1 | -2 | 0 | 0 | 0 | -1 | -1 |

- フレーバー対称性により特定の coupling だけが許される。

Charged lepton

$$\bullet \lambda^2 (R_e^c, R_\mu^c) L \chi_\ell H_{45} / \Lambda,$$

| | (R_e^c, R_μ^c) | L | χ_ℓ | H_{45} |
|-------|--------------------|----------------|----------------|----------------|
| S_4 | $\mathbf{2}$ | $\mathbf{3}_1$ | $\mathbf{3}_1$ | $\mathbf{1}_1$ |
| Z_4 | $-i$ | i | -1 | -1 |

$$\bullet R_\tau^c L \chi'_\ell H_d / \Lambda,$$

| | R_τ^c | L | χ'_ℓ |
|-------|----------------|----------------|----------------|
| S_4 | $\mathbf{1}_1$ | $\mathbf{3}_1$ | $\mathbf{3}_1$ |
| Z_4 | -1 | i | i |

S_4 の tensor product により coupling が決定する。

VEV を $\langle \chi_\ell \rangle = (\alpha_{\ell_1}, \alpha_{\ell_2}, \alpha_{\ell_3}) \Lambda$, $\langle \chi'_\ell \rangle = (\alpha'_{\ell_1}, \alpha'_{\ell_2}, \alpha'_{\ell_3}) \Lambda$ とすると

$$M_\ell = -3y_1 \lambda v_{45} \begin{pmatrix} 0 & \alpha_{\ell_2}/\sqrt{2} & -\alpha_{\ell_3}/\sqrt{2} \\ -2\alpha_{\ell_1}/\sqrt{6} & \alpha_{\ell_2}/\sqrt{6} & \alpha_{\ell_3}/\sqrt{6} \\ 0 & 0 & 0 \end{pmatrix} + y_2 v_d \begin{pmatrix} 0 & 0 & 0 \\ 0 & 0 & 0 \\ \alpha'_{\ell_1} & \alpha'_{\ell_2} & \alpha'_{\ell_3} \end{pmatrix}$$

Dirac neutrino

- $(N_e^c, N_\mu^c)L\chi_D H_u/\Lambda,$

| | (N_e^c, N_μ^c) | L | χ_D |
|-------|--------------------|----------------|----------------|
| S_4 | $\mathbf{2}$ | $\mathbf{3}_1$ | $\mathbf{3}_2$ |
| Z_4 | 1 | i | $-i$ |

- $N_\tau^c L\chi_D H_u/\Lambda,$

| | N_τ^c | L | χ_D |
|-------|----------------|----------------|----------------|
| S_4 | $\mathbf{1}_2$ | $\mathbf{3}_1$ | $\mathbf{3}_2$ |
| Z_4 | 1 | i | $-i$ |

Majorana neutrino

- $(N_e, N_\mu)^2\Phi^2/\Lambda, N_\tau^2$

| | (N_e, N_μ) | N_τ |
|-------|----------------|----------------|
| S_4 | $\mathbf{2}$ | $\mathbf{1}_2$ |
| Z_4 | 1 | 1 |

- $(N_e, N_\mu)^2\chi_N$

| | (N_e, N_μ) | χ_N |
|-------|----------------|--------------|
| S_4 | $\mathbf{2}$ | $\mathbf{2}$ |
| Z_4 | 1 | 1 |

VEV を $\langle\chi_D\rangle = (\alpha_{D1}, \alpha_{D2}, \alpha_{D3})\Lambda,$ $\langle\chi_N\rangle = (\alpha_{N1}, \alpha_{N2})\Lambda$ とすると

$$M_D = v_u \begin{pmatrix} 2y_1^D \lambda \alpha_{D1} / \sqrt{6} & -y_1^D \lambda \alpha_{D2} / \sqrt{6} & -y_1^D \lambda \alpha_{D3} / \sqrt{6} \\ 0 & y_1^D \lambda \alpha_{D2} / \sqrt{2} & -y_1^D \lambda \alpha_{D3} / \sqrt{2} \\ y_2^D \alpha_{D1} & y_2^D \alpha_{D2} & y_2^D \alpha_{D3} \end{pmatrix}$$

$$M_N = \begin{pmatrix} y_1^N \lambda^2 \bar{\Lambda} + y_2^N \alpha_{N2} & y_2^N \alpha_{N1} \Lambda & 0 \\ y_2^N \alpha_{N1} \Lambda & y_1^N \lambda^2 \bar{\Lambda} - y_2^N \alpha_{N2} & 0 \\ 0 & 0 & M \end{pmatrix}$$

VEV の alignment を以下のように与える。

$$\begin{aligned}\langle \chi_\ell \rangle &= (0, \alpha_\ell, 0)\Lambda, & \langle \chi'_{\ell'} \rangle &= (0, 0, \alpha_{\ell'})\Lambda, \\ \langle \chi_D \rangle &= \alpha_D(1, 1, 1)\Lambda, & \langle \chi_N \rangle &= (0, \alpha_N)\Lambda.\end{aligned}$$

$$M_\nu^\dagger M_\nu = v_d^2 \begin{pmatrix} 0 & 0 & 0 \\ 0 & 6|\bar{y}_1|^2 \lambda^2 \alpha_\ell^2 & 0 \\ 0 & 0 & |y_2|^2 \alpha_{\ell'}^2 \end{pmatrix}$$

$$M_\nu = \frac{b+c}{2} \begin{pmatrix} 1 & 0 & 0 \\ 0 & 1 & 0 \\ 0 & 0 & 1 \end{pmatrix} + \frac{3a-b}{3} \begin{pmatrix} 1 & 1 & 1 \\ 1 & 1 & 1 \\ 1 & 1 & 1 \end{pmatrix} + \frac{b-c}{2} \begin{pmatrix} 1 & 0 & 0 \\ 0 & 0 & 1 \\ 0 & 1 & 0 \end{pmatrix}$$

この行列は tri-bimaximal mixing を導く。

$$a = \frac{(y_2^D \alpha_D v_u)^2}{M}, \quad b = \frac{(y_1^D \lambda \alpha_D v_u)^2}{y_1^N \lambda^2 \bar{\Lambda} + y_2^N V_N}, \quad c = \frac{(y_1^D \lambda \alpha_D v_u)^2}{y_1^N \lambda^2 \bar{\Lambda} - y_2^N V_N}.$$

$\Delta(54)$ 対称性

$\Delta(54)$ は stringy origin の中で
singlet, doublet, triplet を持つ最小の群。

T. Kobayashi, H. P. Nilles, F. Ploger, S. Raby, M. Ratz,
Nucl. Phys. B768: 135, 2007
H. Ishimori et al., JHEP 0904: 011, 2009

Basic structure of $\Delta(54)$

$\Delta(54)$ の既約表現は 10 こ: $3_1^{(1)}$, $3_1^{(2)}$, $3_2^{(1)}$, $3_2^{(2)}$,
 2_1 , 2_2 , 2_3 , 2_4 , 1_1 , 1_2 .

Lagrangian が $\Delta(54)$ 対称性を持つ場合、
すべての項は $\Delta(54)$ の自明な 1 重項 1_1 である。

- いくつか掛け算則の例を上げると

$$3_i^{(1)} \times 3_i^{(1)} = 3_1^{(2)} + 3_1^{(2)} + 3_2^{(2)}, \quad 3_i^{(1)} \times 3_i^{(2)} = 1_1 + 2_1 + 2_2 + 2_3 + 2_4$$

$$3_i^{(j)} \times 2_k = 3_1^{(j)} + 3_2^{(j)}, \quad 2_i \times 2_i = 1_1 + 1_2 + 2_i, \dots$$

自明な 1 重項になる組み合わせは

$$3_1^{(1)} \times 3_1^{(2)}, \quad 3_2^{(1)} \times 3_2^{(2)}, \quad 2_i \times 2_i, \quad 1_2 \times 1_2, \quad 1_1 \times 1_1.$$

$\Delta(54)$ model

我々が提案した $\Delta(54)$ 模型を紹介する。

| | レプトン | 右巻きニュートリノ |
|--------------|------------------------|------------------------------|
| | (L_e, L_μ, L_τ) | $(R_e^c, R_\mu^c, R_\tau^c)$ |
| $\Delta(54)$ | $\mathbf{3}_1^{(1)}$ | $\mathbf{3}_1^{(2)}$ |

| | ヒッグス | スカラー場 | | |
|--------------|----------------|----------------|----------------|----------------------|
| | $H_{u,d}$ | χ_ℓ | χ'_ℓ | χ_N |
| $\Delta(54)$ | $\mathbf{1}_1$ | $\mathbf{1}_2$ | $\mathbf{2}_1$ | $\mathbf{3}_1^{(2)}$ |

- フレーバー対称性により特定の coupling だけが許される。

Charged lepton

• $R^c L H_u \chi_\ell / \Lambda,$

| | R^c | L | χ_ℓ |
|--------------|-------------|-------------|-------------|
| $\Delta(54)$ | $3_2^{(2)}$ | $3_1^{(1)}$ | 1_2 |

• $R^c L H_u \chi'_\ell / \Lambda,$

| | R^c | L | χ'_ℓ |
|--------------|-------------|-------------|--------------|
| $\Delta(54)$ | $3_2^{(2)}$ | $3_1^{(1)}$ | 2_1 |

$\Delta(54)$ の tensor product により coupling が決定する。

VEV を $\langle \chi_\ell \rangle = \alpha_\ell \Lambda$, $\langle \chi'_\ell \rangle = (\alpha_{\ell'_1}, \alpha_{\ell'_2}) \Lambda$ とすると

$$M_\ell = y_1^\ell v_d \begin{pmatrix} \alpha_\ell & 0 & 0 \\ 0 & \alpha_\ell & 0 \\ 0 & 0 & \alpha_\ell \end{pmatrix} + y_2^\ell v_d \begin{pmatrix} \omega \alpha_{\ell'_1} - \alpha_{\ell'_2} & 0 & 0 \\ 0 & \omega^2 \alpha_{\ell'_1} - \omega^2 \alpha_{\ell'_2} & 0 \\ 0 & 0 & \omega \alpha_{\ell'_1} - \omega \alpha_{\ell'_2} \end{pmatrix}$$

Dirac neutrino

- $N^c L H_u$,

| | | |
|--------------|----------------------|----------------------|
| | N^c | L |
| $\Delta(54)$ | $\mathbf{3}_1^{(2)}$ | $\mathbf{3}_1^{(1)}$ |

Majorana neutrino

- $\bar{N}^c N \chi_N$

| | | |
|-------|----------------------|----------------------|
| | N | χ_N |
| S_4 | $\mathbf{3}_1^{(2)}$ | $\mathbf{3}_1^{(2)}$ |

VEV を $\langle \chi_N \rangle = (\alpha_{N_1}, \alpha_{N_2}, \alpha_{N_3}) \Lambda$ とすると

$$M_D = y_D v_u \begin{pmatrix} 1 & 0 & 0 \\ 0 & 1 & 0 \\ 0 & 0 & 1 \end{pmatrix}$$

$$M_N = y_1 \Lambda \begin{pmatrix} \alpha_{N_1} & 0 & 0 \\ 0 & \alpha_{N_2} & 0 \\ 0 & 0 & \alpha_{N_3} \end{pmatrix} + y_2 \Lambda \begin{pmatrix} 0 & \alpha_{N_3} & \alpha_{N_2} \\ \alpha_{N_3} & 0 & \alpha_{N_1} \\ \alpha_{N_2} & \alpha_{N_1} & 0 \end{pmatrix}$$

VEV の alignment を以下のように与える。

$$\langle \chi_N \rangle = (\alpha_{N_1}, \alpha_{N_2}, \alpha_{N_2}) \Lambda.$$

$$M_\ell = y_1^\ell v_d \begin{pmatrix} \alpha_\ell & 0 & 0 \\ 0 & \alpha_\ell & 0 \\ 0 & 0 & \alpha_\ell \end{pmatrix} + y_2^\ell v_d \begin{pmatrix} \omega \alpha_{\ell'_1} - \alpha_{\ell'_2} & 0 & 0 \\ 0 & \omega^2 (\alpha_{\ell'_1} - \alpha_{\ell'_2}) & 0 \\ 0 & 0 & \omega \alpha_{\ell'_1} - \omega \alpha_{\ell'_2} \end{pmatrix}$$

$$M_D = y_D v_u \begin{pmatrix} 1 & 0 & 0 \\ 0 & 1 & 0 \\ 0 & 0 & 1 \end{pmatrix}, \quad M_N = \Lambda \begin{pmatrix} y_1 \alpha_{N_1} & y_2 \alpha_{N_2} & y_2 \alpha_{N_2} \\ y_2 \alpha_{N_2} & y_1 \alpha_{N_2} & y_2 \alpha_{N_1} \\ y_2 \alpha_{N_2} & y_2 \alpha_{N_1} & y_1 \alpha_{N_2} \end{pmatrix},$$

行列の (1,2) 成分と (1,3) 成分, (2,2) 成分と (3,3) 成分が同じ、
よって ν_μ と ν_τ は maximal mixing。

$y_1\alpha_{N_2} = y_2\alpha_{N_1}$ の条件を与えると

$$M_\nu = m_3 \left[\begin{pmatrix} 1 & 0 & 0 \\ 0 & 1 & 0 \\ 0 & 0 & 1 \end{pmatrix} - \begin{pmatrix} 1 & 0 & 0 \\ 0 & 0 & 1 \\ 0 & 1 & 0 \end{pmatrix} \right].$$

$$m_3 = \frac{2y_D^2 v_u^2}{\Lambda d} y_1^2 \alpha_{N_1} \alpha_{N_2} \left(1 - \frac{\alpha_{N_2}^3}{\alpha_{N_1}^3}\right),$$

$$d = (y_1^3 + 2y_2^3) \alpha_{N_1} \alpha_{N_2} \alpha_{N_2} - y_1 y_2^2 (\alpha_{N_1}^3 + \alpha_{N_2}^3 + \alpha_{N_2}^3).$$

Tri-bimaximal mixing を導く質量行列と比べると

$$M_\nu = \frac{m_1 + m_3}{2} \begin{pmatrix} 1 & 0 & 0 \\ 0 & 1 & 0 \\ 0 & 0 & 1 \end{pmatrix} + \frac{m_2 - m_1}{3} \begin{pmatrix} 1 & 1 & 1 \\ 1 & 1 & 1 \\ 1 & 1 & 1 \end{pmatrix} + \frac{m_1 - m_3}{2} \begin{pmatrix} 1 & 0 & 0 \\ 0 & 0 & 1 \\ 0 & 1 & 0 \end{pmatrix}$$

$m_1 = m_2 = 0, m_3 \neq 0$ の場合に一致する。

$y_1\alpha_{N_2} = y_2\alpha_{N_1}$ の条件を少しずらすことで
ニュートリノの質量と混合を再現する。

θ_{13} の予言

θ_{13} of A_4 model

高次項を考慮するとフレーバー混合は tri-bimaximal からずれる。

ディラック ($N^c l h_u \chi_e / \Lambda$) と
マヨラナ ($\bar{N}^c N \chi_e \chi / \Lambda^2$, $\bar{N}^c N \chi_e \chi_N / \Lambda^2$,) の高次補正を考えると

$$\delta U_\nu = \begin{pmatrix} 1 & \theta_{12}^\nu & \theta_{13}^\nu \\ -\theta_{12}^\nu & 1 & \theta_{23}^\nu \\ -\theta_{13}^\nu & -\theta_{23}^\nu & 1 \end{pmatrix}$$

$$\theta_{12}^\nu \approx \frac{4y_1^D y_1^N - 2y_0^D y_2^N + 2y_1^D y_0^N - 2y_0^D y_{34}^N + y_0^D y_{35}^N}{3\sqrt{2}y_0^N y_0^D} \alpha_\ell,$$

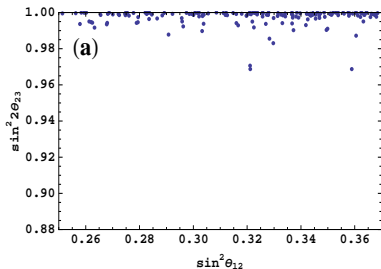
$$\theta_{13}^\nu \approx -\frac{2y_2^D y_0^N + 3y_0^D y_{32}^N - 3y_0^D y_{33}^N}{4\sqrt{3}y_0^D y_1^N} \alpha_\ell, \quad \theta_{23}^\nu \approx \frac{y_2^D y_0^N}{\sqrt{6}y_0^D (2y_1^N - y_0^N)} \alpha_\ell,$$

(荷電レプトンは diagonal のまま、よってずれは $O(\alpha_\ell)$)

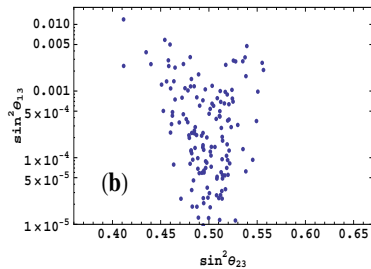
Tri-bimaximal 混合からずれて $U_{\text{MNS}}^\dagger = U_{\text{tri}} \times \delta U_\nu$ になる。

- $\alpha_\ell = m_\tau / v_d \approx 3.2 \times 10^{-2}$
- $\Delta m_{\text{sol}} / \Delta m_{\text{atm}} \Rightarrow y_1^N \alpha_N \sim y_2^N \alpha$

Yukawa coupling を $O(1)$ として数値解析すると



(0.319, 0.991)



(0.453, 0.014)

プロットを中心値は $\theta_{13} \sim 0.01$ である。

θ_{13} of S_4 model

荷電レプトンの高次項:

$$\begin{aligned}
 &(R_e, R_\mu)LH_d\chi'_u\chi'_\ell/\Lambda^2, (R_e, R_\mu)LH_d\chi_D\chi/\Lambda^2, \\
 &(R_e, R_\mu)LH_{45}\chi'_u\chi_D/\Lambda^2, (R_e, R_\mu)LH_{45}\chi'_\ell\chi/\Lambda^2 \\
 &R_\tau LH_d\chi_u\chi_D/\Lambda^2, R_\tau LH_d\chi_D\chi_\ell/\Lambda^2, \\
 &R_\tau LH_{45}\chi_u\chi'_\ell/\Lambda^2, R_\tau LH_{45}\chi_\ell\chi'_\ell/\Lambda^2
 \end{aligned}$$

$$M_\ell^\dagger M_\ell = \begin{pmatrix} \epsilon_{11}^2 + \epsilon_{21}^2 + \epsilon_{31}^2 & \frac{\sqrt{3}m_\mu\epsilon_{11}}{2} + \frac{\sqrt{3}m_\mu\epsilon_{21}}{2} & m_\tau\epsilon_{31} \\ \frac{\sqrt{3}m_\mu\epsilon_{11}}{2} + \frac{\sqrt{3}m_\mu\epsilon_{21}}{2} & m_\mu^2 & m_\tau\epsilon_{32} \\ m_\tau\epsilon_{31} & m_\tau\epsilon_{32} & m_\tau^2 \end{pmatrix},$$

$$\begin{aligned}
 \epsilon_{11} &= y_{\Delta_1}\alpha_D\alpha\nu_d - 3\bar{y}_{\Delta_2}\alpha'_u\alpha_D\nu_d, & \epsilon_{21} &= -3\bar{y}_{\Delta_3}\alpha'_u\alpha_D\nu_d, & \dots \\
 m_\mu &\sim \lambda\alpha_{\ell'}, & m_\tau &\sim \alpha_\ell,
 \end{aligned}$$

$$U_E = \begin{pmatrix} 1 & O\left(\frac{\alpha_{\text{avg}}}{\lambda}\right) & O(\alpha_{\text{avg}}) \\ O\left(\frac{\alpha_{\text{avg}}}{\lambda}\right) & 1 & O(\alpha_{\text{avg}}) \\ O(\alpha_{\text{avg}}) & O(\alpha_{\text{avg}}) & 1 \end{pmatrix}$$

θ_{13} of S_4 model

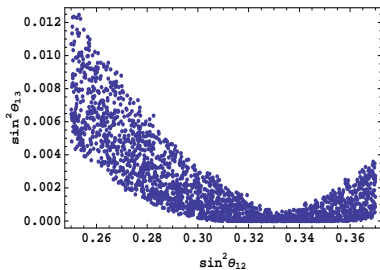
ディラック $(N_e, N_\mu) / h_u \chi_\ell \chi'_\ell \frac{\Phi}{\Lambda^3}$ と
マヨラナ $(N_e, N_\mu)(N_e, N_\mu) \chi'_u \chi$ を考えると

$$\Delta M_D = y_\Delta^D \lambda \alpha_\ell \alpha'_\ell \nu_u \begin{pmatrix} 0 & 0 & 0 \\ 1 & 0 & 0 \\ 0 & 0 & 0 \end{pmatrix}, \quad U_{e3} \approx -\frac{\sqrt{6} y_\Delta^D \alpha_\ell \alpha'_\ell}{3 y_1^D \alpha_D} \sim O(\alpha_{\text{avg}})$$

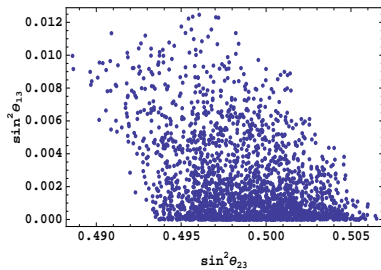
$$\Delta M_N = y_\Delta^N \alpha'_u \alpha \Lambda \begin{pmatrix} 0 & 1 & 0 \\ 1 & 0 & 0 \\ 0 & 0 & 0 \end{pmatrix}, \quad U_{e3} \approx -\frac{y_\Delta^N \alpha'_u \alpha}{y_2^N \alpha_N} \sim O(\alpha_{\text{avg}})$$

Tri-bimaximal 混合からずれて $U_{\text{MNS}} = U_E^\dagger \times U_{\text{tri}}$ になる。

- $\alpha_\ell = m_\tau/v_d \approx 3.2 \times 10^{-2}$, $\lambda \sim 0.1$
- $\sin \theta_{13} \sim \alpha_\ell/\sqrt{2}\lambda$, $\sin \theta_{12} \sim (1 + O(\alpha_\ell/\lambda))/\sqrt{3}$,
 $\sin \theta_{23} \sim (1 - O(\alpha_\ell/\lambda))/\sqrt{2}$



(0.319, 0.014)



(0.453, 0.014)

θ_{13} of $\Delta(54)$ model

$y_1\alpha_{N_2} = y_2\alpha_{N_1}$ の条件の下で

$$M_\nu = \frac{y_D^2 v_u^2}{\Lambda d} y_1^2 \alpha_{N_1} \alpha_{N_2} \left(1 - \frac{\alpha_{N_2}^3}{\alpha_{N_1}^3} \right) \left[\begin{pmatrix} 1 & 0 & 0 \\ 0 & 1 & 0 \\ 0 & 0 & 1 \end{pmatrix} - \begin{pmatrix} 1 & 0 & 0 \\ 0 & 0 & 1 \\ 0 & 1 & 0 \end{pmatrix} \right].$$

であり、固有値は1つだけ

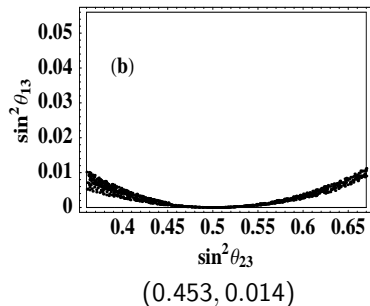
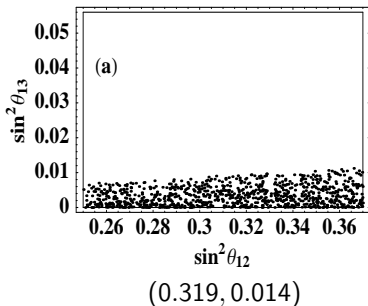
$y_1\alpha_{N_2} = y_2\alpha_{N_1}$ の条件をずらすで固有値は3つになり、
mixing も定まる。

実験と矛盾しない m_1 と m_2 を決めたとき、
mixing は tri-bimaximal から大きくずれない。

$y_1 \alpha_{N_2} = y_2 \alpha_{N_1}$ をずらす。

- パラメータは α_{N_1} , α_{N_2} と Yukawa coupling だけ。
- Neutrino mass の constraint が付く。

Yukawa coupling を $O(1)$ だとして数値解析すると



Summary

3つのフレーバー対称性の模型を考えた。

Leading では A_4 , S_4 , $\Delta(54)$ は
tri-bimaximal mixing を導く。

高次補正などを考えるとそれぞれ異なったずれが生じる

- A_4 : $\theta_{13} \ll 0.1$
- S_4 : $\theta_{13} \sim 0.1$ θ_{12} と相関がある。
- $\Delta(54)$: $\theta_{13} \sim 0.1$ θ_{23} と相関がある。

ニュートリノのフレーバー混合を精度良く調べることで
モデルの識別が可能

PTP の supplement (to be appeared 2010) では
もっと多くの Non-Abelian discrete symmetry
について解析している。

$$S_3, S_4, A_4, A_5, T', D_N, Q_N \\ \Sigma(2N^2), \Delta(3N^2), \Sigma(81), \Delta(6N^2)$$

Supplement を見れば
Non-Abelian discrete symmetry の模型がつかれる!!